

РОССИЙСКАЯ АКАДЕМИЯ НАУК

СИБИРСКОЕ ОТДЕЛЕНИЕ

А В Т О М Е Т Р И Я

2002, том 38, № 5

УДК 681.5

В. А. Жмудь

(Новосибирск)

**МЕТОД РАЗДЕЛЕНИЯ ДВИЖЕНИЙ ДЛЯ ПОДАВЛЕНИЯ
ВОЗМУЩЕНИЙ В ЛАЗЕРНЫХ СИСТЕМАХ**

Предложен метод синтеза двухканального регулятора с разнотемповыми модуляторами для подавления возмущающих воздействий в лазерных системах. Рассмотрен случай неполной модели объекта без учета быстрых корней её характеристического полинома. В двухканальном регуляторе порядок быстрого контура в верхнем частотном диапазоне приводится к первому порядку, а амплитудно-частотная характеристика медленного канала дополняется до интегрирующего звена второго или более высокого порядка. Методика может быть применена к нестационарным объектам и объектам с неточно известными параметрами.

Введение. Нестабильности частоты газовых лазеров характеризуются большим значением амплитуды низкочастотного дрейфа и малыми значениями высокочастотных компонент. Поэтому целесообразно применение двух каналов управления системой стабилизации частоты: низкочастотного и высокочастотного [1].

Однако сигнал тестовой девиации подается по быстрому каналу управления, и недопустимо, чтобы медленный канал подавлял этот сигнал, который для него эквивалентен возмущению. В противном случае возникают искажения суммарного тестового возмущения в виде нежелательного сдвига фаз и искажений гармонической формы этого возмущения. Переходный процесс медленного контура управления при ограниченном быстродействии модулятора вносит дополнительные гармонические компоненты в тестовую девиацию, что недопустимо особенно при детектировании на кратных гармониках тестового сигнала, которое применяется для устранения влияния линейной зависимости мощности излучения от частоты.

Поэтому основной задачей синтеза регуляторов для лазеров с системой стабилизации частоты на основе пьезокерамических модуляторов частоты, наряду с увеличением быстродействия, является распределение энергии переходного процесса системы по спектру частот между быстрым и медленным каналами управления. Кроме того, требуется обеспечение максимально резкого подъема коэффициента усиления с уменьшением частоты.

Пьезокерамические модуляторы частоты излучения лазера могут быть выполнены либо быстродействующими (до десятков килогерц), но с малым диапазоном перестройки, либо с большим диапазоном перестройки, но с малым быстродействием (до сотен герц). Для сочетания положительных свойств различных модуляторов их применяют совместно в двух каналах воздействия (быстрый и медленный).

Медленные возмущения с большими амплитудами должны подавляться медленным регулятором и не влиять на быстрый модулятор. Быстрый модулятор должен не реагировать на медленные возмущения, чтобы не выходить в насыщение, но подавлять быстрые возмущения, обеспечивая широкую полосу всей системе. Область частот, в которой оба модулятора соизмеримо действуют на объект, необходимо минимизировать.

Распределение движений по модуляторам определяется видом АЧХ каналов управления, который зависит от неизменяемой части (объекта) и изменяемой части (регулятора) системы.

Современная теория строится на том, что объект достаточно полно описывается некоторой линейной моделью [2, 3], однако регулятор по этому методу не разделяет движения переходного процесса по возмущению. Например, пусть объект описывается уравнением

$$A_n(p)X(p) = \sum_{i=0}^n a_i p^i X(p) = bU(p), \quad (1)$$

а желаемое уравнение замкнутой системы имеет вид

$$C_m(p)X(p) = \sum_{j=0}^m c_j p^j X(p) = c_0V(p). \quad (2)$$

Метод разделения движений [2] предлагает способ синтеза регулятора, обеспечивающего асимптотическое (сколь угодно точное) приближение уравнения замкнутой системы к виду:

$$\left(\sum_{j=0}^r \alpha_j \mu^j p^j \right) \left(\sum_{i=0}^m c_i p^i X(p) \right) = c_0 V(p), \quad (3)$$

где $\alpha_0 = 1$; μ – малый параметр в сравнении с α_j , a_i и c_j , такой, что моды переходного процесса, порождаемые корнями полинома в первых скобках, пренебрежимо малы в сравнении с модами от корней полинома во вторых скобках.

Метод базируется на предельных соотношениях вида:

$$\lim_{\mu \rightarrow 0} \left\{ \left(\sum_{i=0}^n a_i p^i \right) \sum_{j=0}^r \alpha_j \mu^j p^j \right\} = a_0 \sum_{i=0}^n a_i p^i + a_n \sum_{j=1}^r \alpha_j \mu^j p^{n+j}. \quad (4)$$

Это соотношение называется асимптотическим приближением и позволяет раздельно вычислять корни быстрых и медленных движений при условии, что асимптотический полином имеет соответствующий вид.

Практические проблемы. На примере $n=2$ с учетом возмущающего воздействия $H(p)$ уравнения объекта имеют вид

$$(p^2 + a_1 p + a_0)X(p) = bU(p), \quad (5)$$

$$X(p) = Y(p) + H(p), \quad (6)$$

а желаемое уравнение замкнутой системы получаем в виде

$$(c_1 p + c_0)Y(p) = c_0 V(p). \quad (7)$$

Уравнение регулятора для этого случая:

$$\mu(\mu d_2 p + d_1)U(p) = -(c_1 p + c_0)Y(p) + c_0 V(p). \quad (8)$$

Совместно решая (5), (6), (8) и оставляя внутри каждой скобки только члены, содержащие μ в наименьшей степени, получим асимптотическое уравнение замкнутой системы:

$$\begin{aligned} X(p) &= \frac{c_1 p + c_0}{\mu^2 d_2 b^{-1} p^3 + \mu d_1 b^{-1} p^2 + c_1 p + c_0} H(p) + \\ &+ \frac{c_0}{\mu^2 d_2 b^{-1} p^3 + \mu d_1 b^{-1} p^2 + c_1 p + c_0} V(p) = \\ &= W_H(p)H(p) + W_V(p)V(p). \end{aligned} \quad (9)$$

Числитель передаточной функции по возмущению $W_H(p)$ сокращается с одним из сомножителей асимптотического полинома знаменателя. Возмущение не фильтруется контуром медленных движений, форма переходного процесса от возмущений определяется модами быстрых корней. Как правило, управляющее воздействие $V(p)$ равно нулю, и характеристическое уравнение замкнутой системы не так полно описывает отработку возмущения $H(p)$, как это принято считать.

Для оценки метода разделения движений с позиции качества подавления возмущающего воздействия систему (5), (6), (8) следует преобразовать к структуре с одним контуром, вводя промежуточную переменную

$$V^*(p) = \frac{c_0 V(p)}{c_1 p + c_0}. \quad (10)$$

Тогда уравнение регулятора примет вид

$$\mu(\mu d_2 p + d_1)U(p) = (c_1 p + c_0)[-Y(p) + V^*(p)]. \quad (11)$$

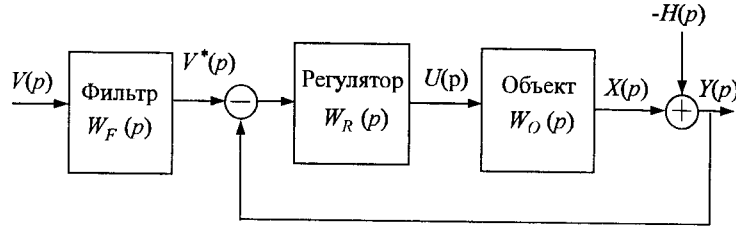


Рис. 1. Структурная схема системы (5), (6), (8)

Отсюда получаем асимптотическую структуру (рис. 1) с обозначениями

$$W_R(p) = \frac{c_1 p + c_0}{\mu^2 d_2 p^2 + \mu d_1}, \quad W_F(p) = \frac{1}{c_1 p + c_0}.$$

Поскольку для описания систем стабилизации ($V = 0$) передаточная характеристика фильтра $W_F(p)$ не имеет значения, свойства замкнутого контура следует изучать по передаточной функции разомкнутого контура $W_p(p) = -W_R(p)W_O(p)$. Регулятор по уравнению (11) осуществляет дифференцирование с большим коэффициентом усиления ($K = \mu^{-1}$). Иными словами, регулятор восстанавливает наклон логарифмической амплитудно-частотной характеристики до -20 дБ/дек. и повышает коэффициент усиления.

Из теории следует, что, зная порядок объекта, выбором достаточно малого μ и соответствующих коэффициентов d , всегда можно обеспечить устойчивость быстрых движений [3]. И это справедливо. Но гипотеза о конечном порядке объекта не состоятельна. Многократное дифференцирование нежелательно, так как приводит к резкому возрастанию высокочастотных шумов. Реальное ограничение диапазона входных сигналов объекта определяет предельное быстродействие замкнутой системы. Задача определения предельно достижимого быстродействия замкнутой системы означает оценку количества больших постоянных времени объекта и выделение зоны малых постоянных времени, где дифференцирование уже невозможно. Поэтому следует получить участок АЧХ в начале этой зоны, чтобы наклон сохранял свое значение на протяжении одной–двух декад. Обеспечение единичного усиления контура в центре этого участка гарантирует устойчивость и предельно достижимое быстродействие системы.

Разделение движений по модуляторам. Пусть АЧХ объекта имеет участок, на котором наклон сохраняет свое значение на протяжении одной–двух декад. Для определенности примем наклон минус первого порядка. Если это невозможно, то ситуация приводится к указанной интегрированием или дифференцированием в этой области. Масштабированием управляющего сигнала мы можем обеспечить равенство АЧХ единице в точке желаемой постоянной времени T . Далее синтез регулятора сводится к синтезу низкочастотной части АЧХ, поскольку высокочастотная часть на качество системы не влияет. При этом требуется разделить управляющий сигнал на две компоненты и обеспечить подачу этих компонент на соответствующие модуляторы.

Пусть быстрый модулятор обеспечивает быстродействие системы до желаемой постоянной времени T . Требуемая граница между медленными и быстрыми движениями определена соотношением постоянных времени

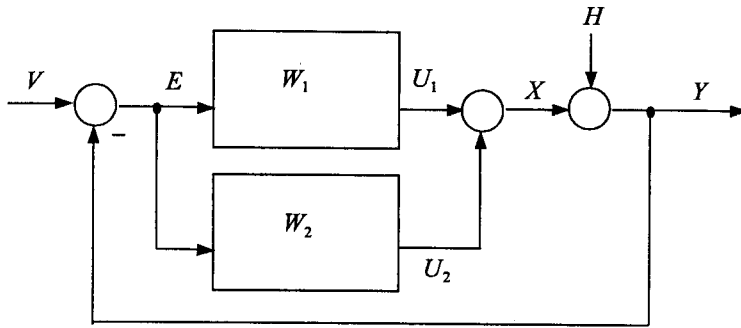


Рис. 2. Желаемая структура замкнутой системы с быстрым W_1 и медленным W_2 каналами

$T_G = \beta T$. Далее требуется найти желаемые уравнения двух каналов управления, из которых уравнения регуляторов определяются с учетом известных передаточных функций модуляторов. Желаемая структура замкнутой системы показана на рис. 2. Уравнения движения системы имеют вид

$$E = V - Y, \quad Y = X + H, \quad X = U_1 + U_2, \quad U_1 = EW_1, \quad U_2 = EW_2. \quad (12)$$

Отсюда следует, что

$$E = V - X - H, \quad X = (W_1 + W_2)E, \quad U_1 = EW_1, \quad U_2 = EW_2.$$

Исключая X , получаем

$$E = \frac{1}{1 + W_1 + W_2} (V - H), \quad (13)$$

$$U_1 = \frac{W_1}{1 + W_1 + W_2} (V - H) = W_{U_1} (V - H), \quad (14)$$

$$U_2 = \frac{W_2}{1 + W_1 + W_2} (V - H) = W_{U_2} (V - H). \quad (15)$$

Далее предлагается обеспечивать передаточные функции быстрого W_1 и медленного W_2 каналов в виде

$$W_1 = \frac{b}{1 + bTp}, \quad W_2 = \frac{K^2}{(1 + GKTp)^2}, \quad (16)$$

где $K^2 \gg b \gg G^2 \gg G \gg 1$.

Тогда в силу $b \gg 1, K^2 \gg b, K \gg G$ получим

$$W_{U_1} \approx \frac{b(1 + GKTp)^2}{K^2(1 + Tp)(1 + G^2Tp)(1 + bTp)},$$

$$W_{U_2} \approx \frac{1}{(1+Tp)(1+G^2Tp)}.$$

Вид этих АЧХ в логарифмическом масштабе показан на рис. 3. Из рисунка видно, какой из контуров отвечает за подавление возмущения в данном частотном диапазоне. Граница разделения движений соответствует постоянной времени $T_G = G^2 T$, все возмущения на частоте ниже $\omega_G = (G^2 T)^{-1}$ отрабатываются медленным каналом (W_2). Отсюда вычисляем $G = \sqrt{\beta}$. Быстрый канал (W_1) работает в диапазоне частот от ω_G до $\omega_T = T^{-1}$.

Для более резкого подъема АЧХ с уменьшением частоты передаточные функции быстрого W_1 и медленного W_2 каналов должны иметь вид

$$W_1 = \frac{b}{1+bTp}, \quad W_2 = \frac{K^3}{(1+GKTp)^3}, \quad (17)$$

где $K^3 \gg b \gg G^3 \gg G \gg 1$.

Практические рекомендации. Далее формулируется метод синтеза регулятора для гарантированного разделения движений как по управлению, так и по возмущению. С этой целью разделение движений должно быть гарантировано видом АЧХ разомкнутого контура. АЧХ соединенных последовательно объекта и регулятора равна произведению их АЧХ, на логарифмическом графике это произведение получается графическим суммированием. При суммировании воздействий по двум каналам наименьшим из них можно пренебречь, если оно отличается на порядок. В этом случае АЧХ суммы на логарифмическом графике выглядит как огибающая отдельных АЧХ. На участке, где они соизмеримы, их сумма примерно в 1,5 раза превышает каждую из них. На этом участке движения не разделяются.

Для разделения движений по модуляторам необходимо и достаточно, чтобы АЧХ быстрого канала превышала АЧХ медленного канала в зоне высоких частот (не менее чем на порядок) и, наоборот, была меньше в зоне медленных частот. Область частот, где АЧХ соизмеримы, минимизируют. Для этого они не должны быть параллельными вблизи области их пересечения. Чем больше угол пересечения АЧХ быстрого и медленного каналов, тем лучше разделяются моды по модуляторам. Этим требованиям отвечают переда-

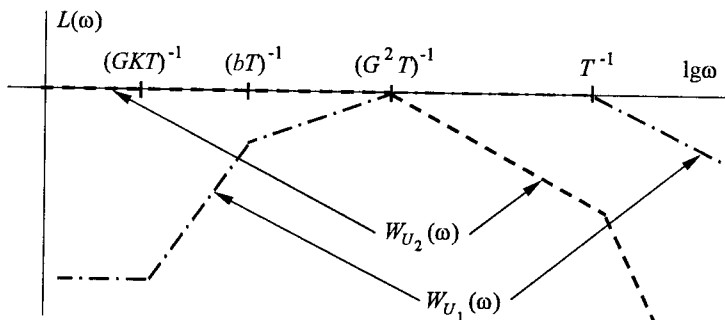


Рис. 3. Вид логарифмических амплитудно-частотных характеристик передаточных функций W_{U_1} и W_{U_2}

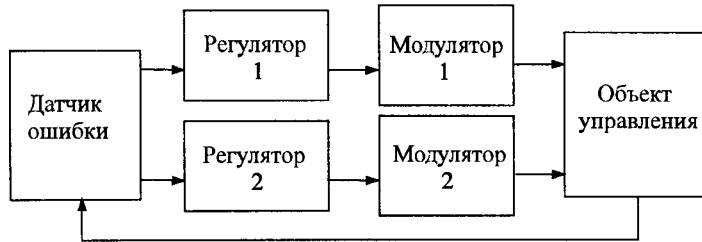


Рис. 4. Структурная схема системы с двумя модуляторами

точные функции трактов по уравнениям (16). При этом целесообразно обеспечить большой наклон АЧХ медленного канала: резкое её увеличение с уменьшением частот позволяет быстро достичь больших величин, что улучшает качество управления. По уравнениям (16) реализуется второй порядок затухания медленного тракта. Этот порядок может быть и выше.

Таким образом, разделение движений по модуляторам достигается двукратным или большим наклоном АЧХ медленного канала, т. е. введением в регулятор необходимого числа интеграторов. При этом наклон АЧХ быстрого канала обеспечивается однократным интегрированием в области, лежащей много раньше точки её пересечения с АЧХ медленного канала и много позже точки её пересечения с осью частот. Регулятор содержит два параллельных канала (рис. 4), причем АЧХ регулятора быстрого канала дополняет АЧХ быстрого модулятора (включая амплитудно-частотные характеристики объекта и датчика ошибки) до интегрирующего звена первого порядка, а АЧХ регулятора медленного канала дополняет АЧХ медленного модулятора до интегрирующего звена второго или более высокого порядка.

На рис. 5 показаны желаемые амплитудно-частотные характеристики медленного и быстрого каналов (W_1 и W_2 соответственно). Не следует располагать их так, чтобы имелся участок, на котором с уменьшением частоты не увеличивалась АЧХ (это не эффективно), а также допускать приближенного равенства АЧХ двух каналов на достаточно протяженном участке, так как в этом случае не происходит разделения движений. Признаком этой ошибки является устойчивость системы при отключении быстрого канала. Пьезокерамические модуляторы, изменяя длину резонатора лазера, позволяют управлять частотой излучения [4]. Как правило, АЧХ этих модуляторов в

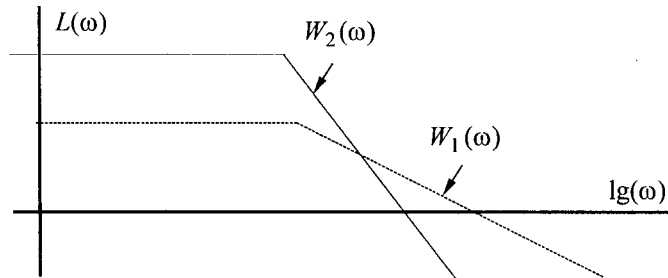


Рис. 5. Вид амплитудно-частотных характеристик быстрого W_1 и медленного W_2 каналов эффективно разделяющей моды

области от низких частот до первой частоты резонанса имеет нулевой наклон, а далее резко падает. Поэтому регулятор должен содержать интегратор первого порядка по быстрому каналу и интегратор второго или более высокого порядка по медленному каналу. В случае фазовой привязки частот двух лазеров следует учитывать начальный наклон первого порядка [5]. Поэтому регулятор должен содержать широкополосный усилитель по быстрому каналу (наклон нулевого порядка) и интегратор первого или более высокого порядка по медленному каналу.

В работах [4, 5] приведены результаты экспериментального исследования полученных систем, которые вполне согласуются с теоретическими данными.

СПИСОК ЛИТЕРАТУРЫ

1. Гольдорт В. М., Ом А. Э. Электронный блок системы стабилизации частоты лазеров // ПТЭ. 1980. № 3. С. 190.
2. Востриков А. С., Воевода А. А., Жмудь В. А. Управление линейными динамическими объектами по методу разделения движений. Новосибирск, 1991. (Препр. /ИАиЭ СО АН СССР; 467).
3. Воевода А. А., Жмудь В. А. Синтез системы автофокусировки для магнитооптической памяти методом разделения движений, корректность метода // Автометрия. 1992. № 2. С. 59.
4. Бармасов С. В., Гительсон В. Д., Жмудь В. А. Электронная система стабилизации частоты Не–Не-лазера по линиям поглощения метана // ПТЭ. 1999. № 4. С. 127.
5. Бармасов С. В., Жмудь В. А. Аппаратура для фазовой автоподстройки разностной частоты двух лазеров // ПТЭ. 2000. № 3. С. 104.

*Институт лазерной физики СО РАН,
E-mail: vadim@laser.nsc.ru*

*Поступила в редакцию
2 июля 2001 г.*